



Laboratorium EMVO Sp. J. Urbański, Pawelak  
ul. Jasna 1  
00-013 Warszawa

tel. +48 22 780 29 64

e-mail: laboratorium@emvo.pl



AB 1630

## Sprawozdanie z pomiarów pól elektromagnetycznych - środowisko nr 4/11/OŚ/2022– P4



<b>Nr i nazwa stacji</b>	<b>GDA1001B</b>	
<b>Adres</b>	<b>Gdańsk, Jana Pawła II 48, pow. Gdańsk, woj. pomorskie</b>	
<b>Opracowanie</b>	<b>Martyna Karczmarczyk</b>	<b>Specjalista ds. pomiarów</b>
<b>Autoryzacja</b>	<b>Andrzej Urbański</b>	<b>Kierownik Laboratorium</b>
<b>Podpis</b>		
<b>Data</b>	<b>2022-11-04</b>	

„Bez pisemnej zgody Laboratorium niniejsze sprawozdanie nie może być powielane inaczej, jak tylko w całości. Ponadto wyniki dotyczą tylko badanych obiektów przywołanych w niniejszym sprawozdaniu z badań”

4/11/OŚ/2022– P4

Strona 1 z 10

## Spis treści

1. Informacje ogólne.....	3
2. Podstawa prawna. ....	3
3. Opis pomiarów.....	3
4. Zróżnicowanie dopuszczalne poziomy pól elektromagnetycznych.....	5
5. Charakterystyka źródeł PEM.....	5
6. Wyniki pomiarów.....	5
7. Stwierdzenie zgodności .....	6
8. Oświadczenie.....	7
9. Spis załączników. ....	8

## 1. Informacje ogólne.

Zleceniodawca	<b>P4 sp. z o.o.,</b> ul. Wynałazek 1, 02-677 Warszawa osoba udzielająca informacji – Magdalena Sokół
Istotne informacje dostarczone przez klienta	komplet informacji niezbędnych do wykonania pomiarów i opracowania sprawozdania
Dane otrzymane od klienta mogące mieć wpływ na ważność wyników	Dane anten sektorowych, dane anten radioliniowych, parametry pracy instalacji, ustawienie pochylenia anten
Prowadzący instalację	P4 sp. z o.o., ul. Wynałazek 1, 02-677 Warszawa
Lokalizacja obiektu	Gdańsk, Jana Pawła II 48, pow. Gdańsk, woj. pomorskie
Miejsce instalacji anten	Wieża kościelna
Miejsce instalacji urządzeń	Indoor
Osoby wykonujące pomiar	Roman Murawski
Data wykonania pomiaru	04.11.2022
Temperatura na początku pomiaru [°C]	11,0
Temperatura na koniec pomiaru [°C]	11,0
Warunki atmosferyczne	Brak opadów
Wilgotność na początku pomiaru [%]	80,0
Wilgotność na koniec pomiaru [%]	80,0
Godzina na początku pomiaru	13:53
Godzina na koniec pomiaru	15:22
Inne źródła pól elektromagnetycznych oznaczone na załączniku graficznym	Występują
Parametry pracy instalacji	Tryb eksploatacyjny

## 2. Podstawa prawna.

### 2.1 Normy i rozporządzenia:

- Rozporządzeniem Ministra Klimatu z dnia 17 lutego 2020 r. w sprawie sposobów sprawdzania dotrzymania dopuszczalnych poziomów pól elektromagnetycznych w środowisku (Dz.U. 2020 poz. 258)
- Rozporządzenie Ministra Zdrowia z dnia 17 grudnia 2019 r. w sprawie dopuszczalnych poziomów pól elektromagnetycznych w środowisku (Dz.U. 2019 poz. 2448)
- Obwieszczenie Marszałka Sejmu Rzeczypospolitej Polskiej z dnia 19 lipca 2019 r. w sprawie ogłoszenia jednolitego tekstu ustawy - Prawo ochrony środowiska (Dz.U. 2019 poz. 1396)
- Rozporządzenie Ministra Klimatu i Środowiska z dnia 6 maja 2022 r. zmieniające rozporządzenie w sprawie sposobów sprawdzania dotrzymywania dopuszczalnych poziomów pól elektromagnetycznych w środowisku (Dz.U. 2022 poz. 1121).

„Bez pisemnej zgody Laboratorium niniejsze sprawozdanie nie może być powielane inaczej, jak tylko w całości. Ponadto wyniki dotyczą tylko badanych obiektów przywołanych w niniejszym sprawozdaniu z badań”

### 3. Opis pomiarów

Metodologia pomiarowa	Pomiary w oparciu o Rozporządzeniem Ministra Klimatu z dnia 17 lutego 2020 r. w sprawie sposobów sprawdzania dotrzymania dopuszczalnych poziomów pól elektromagnetycznych w środowisku (Dz.U. 2020 poz. 258) oraz Rozporządzenie Ministra Klimatu i Środowiska z dnia 6 maja 2022 r. zmieniające rozporządzenie w sprawie sposobów sprawdzania dotrzymywania dopuszczalnych poziomów pól elektromagnetycznych w środowisku (Dz.U. 2022 poz. 1121).
Cel badań	Określenie wartości natężenia pola elektrycznego w miejscach dostępnych dla ludności.
Opis zestawu pomiarowego	Miernik Narda NBM 550, Sonda EF-6092, o zakresie pomiarowym 0,7 V/m – 300V/m pracująca w paśmie 0,1 – 90 GHz, świadectwo wydane przez Laboratorium Wzorców i Metrologii Pola Elektromagnetycznego, Instytut Telekomunikacji, Teleinformatyki i Akustyki Politechniki Wrocławskiej. Świadectwo ważne do 10.06.2024 r. Miernik Narda NBM 550, Sonda EF-6092 pracująca w zakresie temperatury -10°C - +50°C oraz wilgotności 5% - 95% Niepewność rozszerzona wynosi 58,8% przy poziomie ufności 95% z uwzględnieniem współczynnika rozszerzenia k=2.
Wyposażenie pomocnicze	Termohigrometr Bestone, Nr. inwentarzowy 03/WL, nr identyfikacyjny 1222436, typ: GM1362-EN-00, świadectwo wzorcowania z dn. 22.12.2015 r. wydane przez Laboratorium Pomiarowe „MUTECH”. Przymiar wstęgowy STABILA, Nr. inwentarzowy 06/WL, nr identyfikacyjny 06WL, świadectwo wzorcowania z dn. 22.09.2021 r. wydane przez Zespół Laboratoriów wzorcujących Okręgowego Urzędu Miar w Gdyni. GPS Garmin 64s okresowo sprawdzany w punktach osnowy geodezyjnej klasy 3 na podstawie licencji punktu, zgodnie z procedurą sprawdzeń okresowych IS/PO-16-11/03.
Pomiary zostały wykonane	<ol style="list-style-type: none"><li>1. na głównych i pomocniczych kierunkach pomiarowych, na kierunkach zbliżonych do azymutów anten oraz w dodatkowych pionach pomiarowych zgodnie z wymaganiami pkt 12, 13, 14 i 19 Rozporządzenia Ministra Klimatu z dnia 17 lutego 2020 r. (Dz. U. 2020, poz. 258) oraz Rozporządzenia Ministra Klimatu i Środowiska z dnia 6 maja 2022 r. zmieniającego rozporządzenie w sprawie sposobów sprawdzania dotrzymywania dopuszczalnych poziomów pól elektromagnetycznych w środowisku (Dz.U. 2022 poz. 1121).</li><li>2. na obszarze pomiarowym, dla którego, na podstawie uprzednio przeprowadzonych obliczeń stwierdzono w miejscach dostępnych dla ludności występowanie pól elektromagnetycznych o najwyższym poziomie, które pochodzą z badanej instalacji zgodnie z wymaganiami pkt 5 ppkt 2 oraz pkt 13 ppkt 1 Rozporządzenia Ministra Klimatu z dnia 17 lutego 2020 r. w sprawie sposobów sprawdzania dotrzymania dopuszczalnych poziomów pól elektromagnetycznych w środowisku (Dz. U. 2020, poz. 258) oraz Rozporządzenia Ministra Klimatu i Środowiska z dnia 6 maja 2022 r. zmieniającego rozporządzenie w sprawie sposobów sprawdzania dotrzymywania dopuszczalnych poziomów pól elektromagnetycznych w środowisku (Dz.U. 2022 poz. 1121). Wyniki obliczeń nie uwzględniały parametrów pracy instalacji innych operatorów występujących na obiekcie bądź w obszarze pomiarowym.</li><li>3. w miejscach dostępnych dla ludności.</li><li>4. miejsca niedostępne podczas wykonywania pomiarów wskazane zostały w pkt 6 (tabeli wyniki pomiarów).</li></ol>

Szczególne warunki podczas wykonywania pomiarów

Pomiary wykonane zostały podczas obowiązywania w kraju stanu zagrożenia epidemicznego, zgodnie z art. 122a ust. 1b Ustawy z dnia 27 kwietnia 2001 r. – Prawo ochrony środowiska (Dz. U. z 2019 r. poz. 1396, z późn. zm.9)).

Warunki pracy urządzeń nadawczych

Tryb pracy eksploatacyjny.

#### 4. Zróżnicowanie dopuszczalne poziomy pól elektromagnetycznych.

Zakresy znajdują się w Dzienniku Ustaw z dnia 17 grudnia 2019 r. przedstawione są w tabeli nr 2 (Dz. U. z 2019r. poz. 2448).

Parametr fizyczny	Składowa elektryczna E (V/m)	Składowa magnetyczna H (A/m)	Gęstość mocy S (W/m <sup>2</sup> )
Zakres Częstotliwości pola elektromagnetycznego			
od 400 MHz do 2000 MHz	$1,375 \times f^{0,5}$	$0,0037 \times f^{0,5}$	f / 200
od 2 GHz do 300 GHz	61	0,16	10

#### 5. Charakterystyka źródeł PEM.

Zgodnie z informacją otrzymaną od Klienta pomiary zostały wykonane przy ustawieniach pochylenia anten zgodnych z pkt. 13, ppkt 2 Rozporządzenia Ministra Klimatu z dnia 17 lutego 2020 roku.

Tabela 1. Anteny sektorowe - dane otrzymane od klienta

Charakterystyka promieniowania		kierunkowa														
Rzeczywisty czas pracy [h/dobę]		24														
Rodzaj wytwarzanego pola		stacjonarne														
Lp	Wyszczególnienie	sektor 1					sektor 2					sektor 3				
I	<b>Nadajnik stacji bazowej:</b>															
1	Typ / Producent	DBS/RBS / Overlay Huawei/Ericsson														
2	Częstotliwość (pasmo) MHz	2600	2100	1800	900	800	2600	2100	1800	900	800	2600	2100	1800	900	800
3	Maksymalna moc nadawana na sektor [dBm]	52,04	53,01	53,01	47,78	49,03	52,04	53,01	53,01	47,78	49,03	52,04	53,01	53,01	47,78	49,03
II	<b>Obciążenie:</b>															
1	Typ anteny	Huawei ASI4518R41					Huawei ASI4518R14					Huawei ASI4518R41				
2	Producent anteny	Huawei					Huawei					Huawei				
3	Ilość anten	1					1					1				
4	Azymut	0					120					245				
5	Zakres kątów pochylenia anten [°]	2-12	2-12	2-12	2-16	2-16	2-12	2-12	2-12	0-14	0-14	2-12	2-12	2-12	2-16	2-16
6	Wysokość zainst. n.p.t. [m]	38,00					38,00					39,70				
7	EIRP [W]	32303					30628					31335				

Tabela 2. Anteny radioliniowe- dane otrzymane od klienta  
Brak anten

## 6. Wyniki pomiarów.

Wyniki pomiarów pól elektromagnetycznych dla celów ochrony środowiska przedstawia poniższa tabela. Piony pomiarowe zostały przedstawione w zał. 2.

Nr PP	Pole-E [V/m]	Pole-E, +U [V/m]	Pole-H [A/m]	Pole-H +U [A/m]	Wys. pomiaru [m]	Opis pionu	Uwagi	WM <sub>E</sub>	WM <sub>H</sub>
1	1,4	2,22	0,004	0,006	0,3-2,0	N:54°24'04.6" E:18°36'36.6"	otoczenie stacji bazowej - 50m wzdłuż gł. osi promieniowania - GKP	0,079	0,081
2	1,7	2,70	0,005	0,007	0,3-2,0	N:54°24'06.3" E:18°36'36.7"	otoczenie stacji bazowej - 100m wzdłuż gł. osi promieniowania - GKP	0,096	0,098
3	2,3	3,65	0,006	0,010	0,3-2,0	N:54°24'08.1" E:18°36'36.6"	otoczenie stacji bazowej - 150m wzdłuż gł. osi promieniowania - GKP	0,130	0,133
4	2,6	4,13	0,007	0,011	0,3-2,0	N:54°24'09.6" E:18°36'36.6"	otoczenie stacji bazowej - 200m wzdłuż gł. osi promieniowania - GKP	0,147	0,150
5	2,2	3,49	0,006	0,009	0,3-2,0	N:54°24'11.2" E:18°36'36.6"	otoczenie stacji bazowej - 250m wzdłuż gł. osi promieniowania - GKP	0,125	0,127
6	2,5	3,97	0,007	0,011	0,3-2,0	N:54°24'12.7" E:18°36'36.7"	otoczenie stacji bazowej - 300m wzdłuż gł. osi promieniowania - GKP	0,142	0,144
7	2,4	3,81	0,006	0,010	0,3-2,0	N:54°24'14.5" E:18°36'36.3"	otoczenie stacji bazowej - 350m wzdłuż gł. osi promieniowania - GKP	0,136	0,138
8	2,0	3,18	0,005	0,008	0,3-2,0	N:54°24'15.3" E:18°36'36.6"	otoczenie stacji bazowej - 380m wzdłuż gł. osi promieniowania - GKP	0,113	0,115
9	0,7*	1,27	0,002	0,003	0,3-2,0	N:54°24'02.2" E:18°36'39.3"	otoczenie stacji bazowej - 50m wzdłuż gł. osi promieniowania - GKP	0,045	0,046
10	1,8	2,86	0,005	0,008	0,3-2,0	N:54°24'01.5" E:18°36'41.7"	otoczenie stacji bazowej - 100m wzdłuż gł. osi promieniowania - GKP	0,102	0,104
11	2,1	3,33	0,006	0,009	0,3-2,0	N:54°24'00.6" E:18°36'44.3"	otoczenie stacji bazowej - 150m wzdłuż gł. osi promieniowania - GKP	0,119	0,121
12	2,7	4,29	0,007	0,011	0,3-2,0	N:54°24'00.1" E:18°36'46.7"	otoczenie stacji bazowej - 200m wzdłuż gł. osi promieniowania - GKP	0,153	0,156
13	2,6	4,13	0,007	0,011	0,3-2,0	N:54°23'59.2" E:18°36'49.1"	otoczenie stacji bazowej - 250m wzdłuż gł. osi promieniowania - GKP	0,147	0,150
14	2,1	3,33	0,006	0,009	0,3-2,0	N:54°23'58.4" E:18°36'51.8"	otoczenie stacji bazowej - 300m wzdłuż gł. osi promieniowania - GKP	0,119	0,121
15	2,4	3,81	0,006	0,010	0,3-2,0	N:54°23'57.8" E:18°36'53.4"	otoczenie stacji bazowej - 350m wzdłuż gł. osi promieniowania - GKP	0,136	0,138
16	2,0	3,18	0,005	0,008	0,3-2,0	N:54°23'57.6" E:18°36'54.3"	otoczenie stacji bazowej - 380m wzdłuż gł. osi promieniowania - GKP	0,113	0,115
17	1,3	2,06	0,003	0,005	0,3-2,0	N:54°24'02.1" E:18°36'34.2"	otoczenie stacji bazowej - 50m wzdłuż gł. osi promieniowania - GKP	0,074	0,075
18	1,6	2,54	0,004	0,007	0,3-2,0	N:54°24'01.5" E:18°36'31.3"	otoczenie stacji bazowej - 100m wzdłuż gł. osi promieniowania - GKP	0,091	0,092
19	1,8	2,86	0,005	0,008	0,3-2,0	N:54°24'00.9" E:18°36'28.7"	otoczenie stacji bazowej - 150m wzdłuż gł. osi promieniowania - GKP	0,102	0,104
20	2,2	3,49	0,006	0,009	0,3-2,0	N:54°23'59.6" E:18°36'24.2"	otoczenie stacji bazowej - 250m wzdłuż gł. osi promieniowania - GKP	0,125	0,127
21	2,8	4,45	0,007	0,012	0,3-2,0	N:54°23'58.9" E:18°36'21.2"	otoczenie stacji bazowej - 300m wzdłuż gł. osi promieniowania - GKP	0,159	0,162
22	2,2	3,49	0,006	0,009	0,3-2,0	N:54°23'58.0" E:18°36'18.7"	otoczenie stacji bazowej - 350m wzdłuż gł. osi promieniowania - GKP	0,125	0,127
23	2,4	3,81	0,006	0,010	0,3-2,0	N:54°23'57.6" E:18°36'16.8"	otoczenie stacji bazowej - 380m wzdłuż gł. osi promieniowania - GKP	0,136	0,138
24	1,0	1,59	0,003	0,004	0,3-2,0	N:54°24'05.6" E:18°36'39.7"	otoczenie stacji bazowej - GKP	0,057	0,058
25	0,9	1,43	0,002	0,004	0,3-2,0	N:54°24'04.7" E:18°36'42.2"	otoczenie stacji bazowej - GKP	0,051	0,052
26	0,7*	1,27	0,002	0,003	0,3-2,0	N:54°24'03.3" E:18°36'40.4"	otoczenie stacji bazowej - GKP	0,045	0,046
27	0,7*	1,27	0,002	0,003	0,3-2,0	N:54°24'00.9" E:18°36'37.9"	otoczenie stacji bazowej - GKP	0,045	0,046
28	1,2	1,91	0,003	0,005	0,3-2,0	N:54°24'01.5" E:18°36'35.9"	otoczenie stacji bazowej - GKP	0,068	0,069

„Bez pisemnej zgody Laboratorium niniejsze sprawozdanie nie może być powielane inaczej, jak tylko w całości. Ponadto wyniki dotyczą tylko badanych obiektów przywołanych w niniejszym sprawozdaniu z badań”

29	1,5	2,38	0,004	0,006	0,3-2,0	N:54°23'59.6" E:18°36'34.6"	otoczenie stacji bazowej - GKP	0,085	0,087
30	1,5	2,38	0,004	0,006	0,3-2,0	N:54°24'02.8" E:18°36'32.4"	otoczenie stacji bazowej - GKP	0,085	0,087
31	1,1	1,75	0,003	0,005	0,3-2,0	N:54°24'04.8" E:18°36'33.9"	otoczenie stacji bazowej - GKP	0,062	0,063
32	1,6	2,54	0,004	0,007	0,3-2,0	N:54°24'06.2" E:18°36'33.7"	otoczenie stacji bazowej - GKP	0,091	0,092
A	1,6	2,54	0,004	0,007	0,3-2,0	N:54°24'03.8" E:18°36'35.3"	Kościół, pomiar przed budynkiem - DPP	0,091	0,092
B	1,4	2,22	0,004	0,006	0,3-2,0	N:54°24'04.3" E:18°36'37.1"	Al. Jana Pawła II 48, pomiar przed budynkiem -DPP	0,079	0,081
C	1,6	2,54	0,004	0,007	0,3-2,0	N:54°24'02.3" E:18°36'37.8"	Powstańców Wielkopolskich 5, pomiar przed budynkiem -DPP	0,091	0,092
D	1,8	2,86	0,005	0,008	0,3-2,0	N:54°24'01.2" E:18°36'40.3"	Braci Majewskich 22, pomiar przed budynkiem -DPP	0,102	0,104
E	1,2	1,91	0,003	0,005	0,3-2,0	N:54°24'01.3" E:18°36'34.3"	Al. Jana Pawła II 44, pomiar przed budynkiem -DPP	0,068	0,069
F	0,7*	1,27	0,002	0,003	0,3-2,0	N:54°24'02.7" E:18°36'41.5"	Braci Majewskich 26, pomiar przed budynkiem -DPP	0,045	0,046
G	2,1	3,33	0,006	0,009	0,3-2,0	N:54°24'01.1" E:18°36'43.9"	Braci Majewskich 35/37, pomiar przed budynkiem -DPP	0,119	0,121
H	2,2	3,49	0,006	0,009	0,3-2,0	N:54°24'00.3" E:18°36'43.1"	Braci Majewskich 33, pomiar przed budynkiem -DPP	0,125	0,127
I	2,5	3,97	0,007	0,011	0,3-2,0	N:54°23'59.6" E:18°36'46.3"	Budziszów 7/9, pomiar przed budynkiem -DPP	0,142	0,144
J	2,6	4,13	0,007	0,011	0,3-2,0	N:54°23'59.7" E:18°36'47.4"	Polonii Gdańskiej 9/11, pomiar przed budynkiem -DPP	0,147	0,150
K	2,2	3,49	0,006	0,009	0,3-2,0	N:54°24'00.1" E:18°36'27.2"	Al. Jana Pawła II 7, pomiar przed budynkiem -DPP	0,125	0,127
L	2,7	4,29	0,007	0,011	0,3-2,0	N:54°24'00.5" E:18°36'25.5"	Al. Jana Pawła II 5, pomiar przed budynkiem -DPP	0,153	0,156
M	3,1	4,92	0,008	0,013	0,3-2,0	N:54°24'10.2" E:18°36'36.5"	Meissnera 20, pomiar przed budynkiem -DPP	0,176	0,179

Wynik pomiaru pole - E [V/m] - maksymalna wartość chwilowa zmierzona w danym pionie pomiarowym (uśredniona na podstawie punktu 11 Rozporządzenia Ministra Zdrowia).

Przyjęto najniższą dopuszczalną wartość składowej elektrycznej pola dla objętego pomiarami zakresu częstotliwości  $\min(ME_{gr}) = 28 \text{ V/m}$  oraz składowej magnetycznej  $\min(MH_{gr}) = 0,073 \text{ A/m}$ .

\* - wartość zmierzona poniżej zakresu akredytacji. Do obliczeń przyjęto wartość zgodną z dolną granicą akredytowanego zakresu pomiarowego metody.

GKP - główne kierunki pomiarowe

PKP - pomocnicze kierunki pomiarowe

DPP - dodatkowe punkty pomiarowe

PP - pion pomiarowy

U - niepewność pomiarowa rozszerzona, przy poziomie ufności 95%, z uwzględnieniem współczynnika rozszerzenia  $k=2$

$WM_E$  - wartość wskaźnikowa poziomu emisji pól elektromagnetycznych dla miejsc dostępnych dla ludności dla składowej elektrycznej pola

$WM_H$  - wartość wskaźnikowa poziomu emisji pól elektromagnetycznych dla miejsc dostępnych dla ludności dla składowej magnetycznej pola

## 7. Stwierdzenie zgodności

Na podstawie wytycznych podanych w Rozporządzeniu Ministra Zdrowia z dnia 17 grudnia 2019 r. w sprawie dopuszczalnych poziomów pól elektromagnetycznych w środowisku (Dz.U. 2019 poz. 2448) oraz sposobów sprawdzania dotrzymania tych poziomów zgodnie z Rozporządzeniem Ministra Klimatu z dnia 17 lutego 2020 r. w sprawie sposobów sprawdzania dotrzymania dopuszczalnych poziomów pól elektromagnetycznych w środowisku (Dz.U. 2020 poz. 258) oraz Rozporządzeniem Ministra Klimatu i Środowiska z dnia 6 maja 2022 r. zmieniającego rozporządzenie w sprawie sposobów sprawdzania dotrzymania dopuszczalnych poziomów pól elektromagnetycznych w środowisku (Dz.U. 2022 poz. 1121), dotyczących źródła wymagań, które muszą być spełnione, w oparciu o zasadę podejmowania decyzji zgodną z pkt. 26 Rozporządzenia Ministra Klimatu z dnia 17 lutego 2020 r. (Dz.U. 2020 poz. 258), na podstawie wyników pomiarów pól elektromagnetycznych wykonanych w

„Bez pisemnej zgody Laboratorium niniejsze sprawozdanie nie może być powielane inaczej, jak tylko w całości. Ponadto wyniki dotyczą tylko badanych obiektów przywołanych w niniejszym sprawozdaniu z badań”

dniu 04.11.2022 stwierdzono, że wszystkie wyniki przeprowadzonych pomiarów w danym obszarze pomiarowym oraz wyznaczone na tej podstawie wskaźniki WME oraz WMH są mniejsze od wartości dopuszczalnych – zgodnie z przepisami wydanymi na podstawie art. 122 ust. 1 ustawy z dnia 27 kwietnia 2001 r. – Prawo ochrony środowiska – załącznikiem do Rozporządzenia Ministra Klimatu i Środowiska z dnia 17 lutego 2020 r. w sprawie sposobów sprawdzania dotrzymywania dopuszczalnych poziomów pól elektromagnetycznych w środowisku (Dz.U. 2020 poz. 258, pkt 26).

## 8. Oświadczenie.

Wyniki badania odnoszą się wyłącznie do badanego obiektu.

Bez pisemnej zgody sprawozdanie nie może być powielane inaczej, jak tylko w całości.

Uwagi i zastrzeżenia przyjmowane są w formie pisemnej w ciągu 14 dni od daty otrzymania sprawozdania.

## 9. Spis załączników.

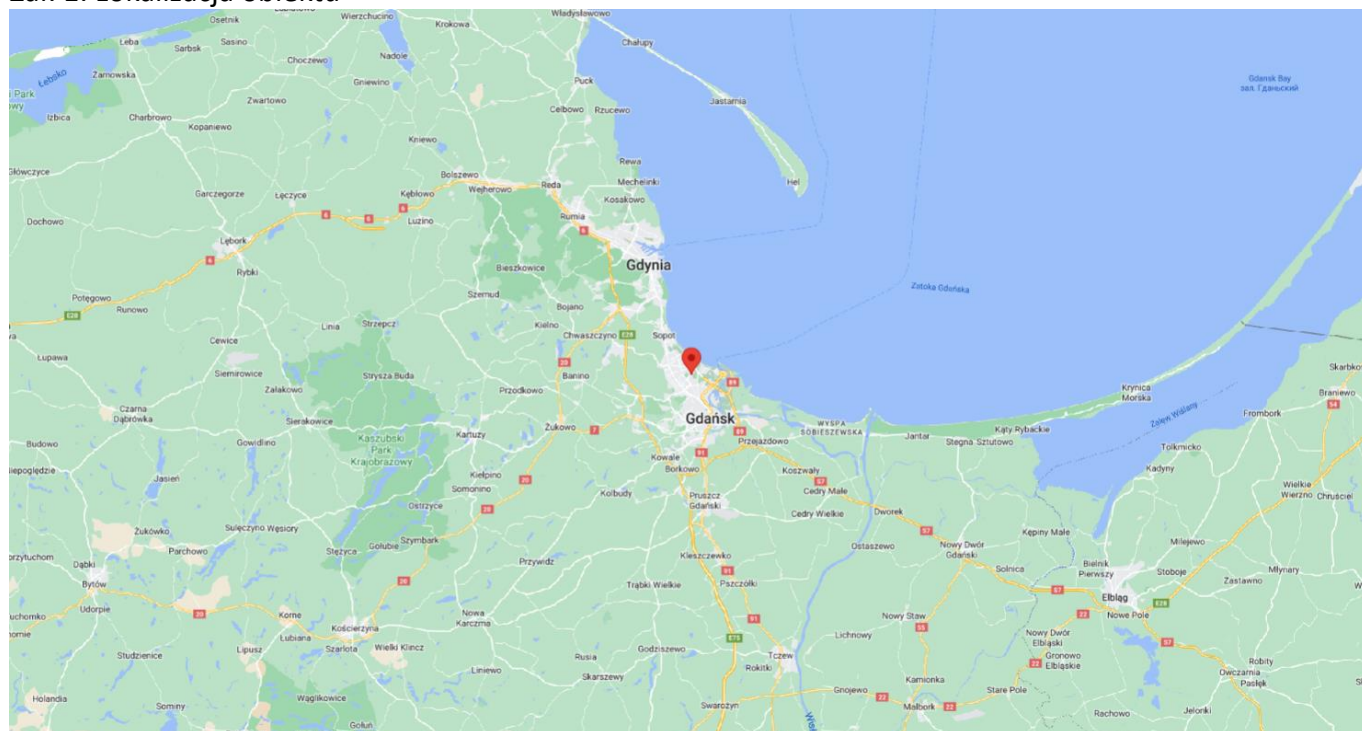
Załącznik 1. Lokalizacja obiektu.

Załącznik 2. Widok pionowy pomiarowych

Załącznik 3. Załączniki graficzne

### Koniec sprawozdania

#### Załącznik 1. Lokalizacja obiektu



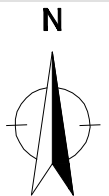
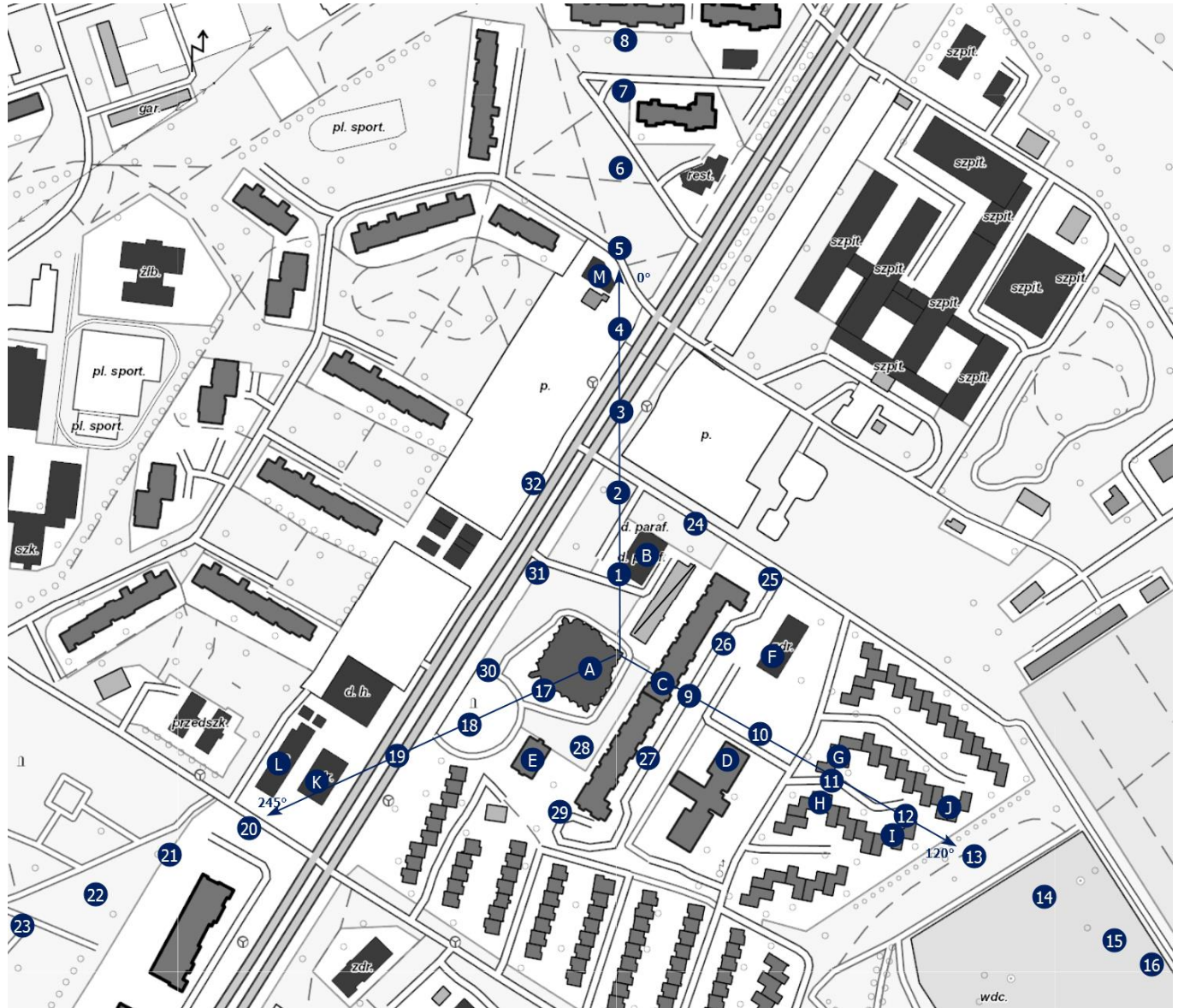
#### Współrzędne geograficzne

długość:	18°36'36.83"E
----------	---------------


szerokość:	54°24'02.84"N
------------	---------------




## Załącznik 2. Widok pionów pomiarowych





### LEGENDA:

 inna instalacja radiokomunikacyjna

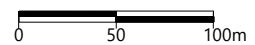
 brak dostępu

 pion pomiaru

 antena sektorowa

 antena radioliowa

Skala:1:4800



„Bez pisemnej zgody Laboratorium niniejsze sprawozdanie nie może być powielane inaczej, jak tylko w całości. Ponadto wyniki dotyczą tylko badanych obiektów przywołanych w niniejszym sprawozdaniu z badań”

4/11/OŚ/2022- P4

Strona 9 z 10

Załącznik 3. Załączniki graficzne.

